

激光束的空间调制

谢培良

(中国科学院上海光机所)

提要: 本文研究了激光束的空间调制问题,得到了栅形、缝形、孔形、扇形调制器的激光束调制场分布式,给出了光强分布图,介绍了初步实验结果。

Spatial modulation of laser beam

Xie Peiliang

(Shanghai Institute of Optics and Fine Mechenics, Academia Sinica)

Abstract: The problems on spatial modulation of laser beams are investigated. The formulas are derived for field distributions of the modulated beams with grid, slit, circular and fan-shaped modulators. Profiles for field distributions are given and experimental results described.

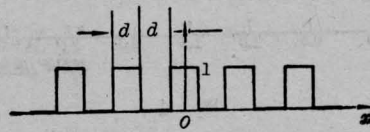
一、引言

在激光束光路中,引进一个空间调制器,则在其后的近区及远区,产生激光强度的调制分布,采用合适的调制器及调制参量,可以得到所希望的光强分布。近年来有人研究过周期性空间调制问题^[1],本文进一步研究几种周期及非周期空间调制器,并在调制函数中引入了两个相位误差项,以使调制场表达式趋于完备。

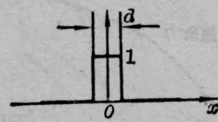
设 f 为调制器透过光束振幅 A_1 的调制函数(如图 1)。 $f-1$ 为透过光束振幅 $-A_1$ 的调制函数, f 和 $f-1$ 的复相位误差分别为 $\delta_1 = \beta_1 + j\alpha_1$, $\delta_2 = \beta_2 + j\alpha_2$, β 和 α 分别表示相位常数及衰减常数,于是,调制器调制函数一般表达式为

$$F = f(e^{i\delta_1} + e^{i\delta_2}) - e^{i\delta_1} \quad (1)$$

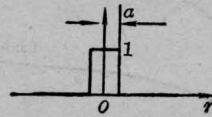
对直角坐标系,光束经调制后,场分布为^[2]



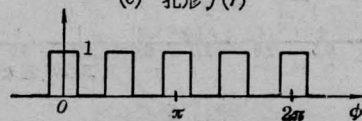
(a) 栅形 $f(x)$



(b) 缝形 $f(x)$



(c) 孔形 $f(r)$



(d) 扇形 $f(\phi)$

图 1 调制函数 f

收稿日期: 1980年5月14日。

$$A(x_1, y_1) = \frac{i \exp(-ikl)}{\lambda l} \iint_{-\infty}^{\infty} A_1 F(x) \times \exp\left\{-\frac{ik[(x_1-x)^2 + (y_1-y)^2]}{2l}\right\} \times dx dy \quad (2)$$

式中 A_1 为基模高斯光束振幅分布, 对于一维调制器, 在 $y_1=0$ 的调制场振幅分布则得:

$$A(x_1) = B[(e^{i\delta_1} + e^{i\delta_2})S - e^{i\delta_1} \sqrt{\pi\alpha} W \exp(-\alpha X_1^2)] \quad (3)$$

其中 $B = i \sqrt{2\alpha} \frac{\exp(-ikl)}{\lambda l} \exp\left(-\frac{ikx_1^2}{2l}\right);$
 $X_1 = \frac{kWx_1}{2l}; \alpha = \frac{1}{1+j\phi}; \phi = \frac{kW^2}{2}\left(\frac{1}{R} + \frac{1}{l}\right)。$

W 为基模光斑半径; R 为球面波前曲率半径; 而

$$S = \int_{-\infty}^{\infty} f(x) \exp\left(-\alpha \frac{x^2}{W^2}\right) \times \exp\left(\frac{ikx_1}{l} x\right) dx \quad (4)$$

对于极坐标系, 基模光束调制后振幅分布为

$$A(r_1, \phi_1) = b \int_0^{2\pi} \int_0^{\infty} f(r, \phi) \exp\left(-\frac{r^2}{\alpha W^2}\right) \times \exp\left[\frac{ikr_1 r}{l} \cos(\phi - \phi_1)\right] \times r dr d\phi \quad (5)$$

对于仅有径向变化的调制函数 $f(r)$, 得到

$$A(r_1) = 2\pi b \left[(e^{i\delta_1} + e^{i\delta_2})S - \frac{\alpha W^2}{2} e^{i\delta_1} \exp(-\alpha \rho^2) \right] \quad (6)$$

式中 $b = i \sqrt{\frac{2}{\pi}} \frac{1}{W} \frac{\exp(-ikl)}{\lambda l} \exp\left(-\frac{ikr_1^2}{2l}\right);$
 $\rho = \frac{kW r_1}{2l};$

而 $S = \int_0^{\infty} r f(r) \exp\left(-\frac{r^2}{\alpha W^2}\right) J_0\left(\frac{kr_1}{l} r\right) dr。$ (7)

二、栅形调制器

间隔为 d 的栅形调制器, 有两种调制安置方式, 对于反对称安置时, 调制函数可表示

为:

$$f(x) = \frac{1}{2} + \frac{2}{\pi} \sum_{n=1}^{\infty} \frac{1}{2n-1} \sin\left[\frac{(2n-1)\pi x}{d}\right] \quad (8a)$$

对称安置时(图 1(a)), 调制函数 $f(x)$ 为

$$f(x) = \frac{1}{2} + \frac{2}{\pi} \sum_{n=1}^{\infty} \frac{(-1)^{n-1}}{2n-1} \times \cos\left[\frac{(2n-1)\pi x}{d}\right] \quad (8b)$$

1. 反对称栅形调制器

由(8a)、(4)、(3)式, 根据光强 $I = A_1 \cdot A_1^*$, 得到

$$I = I_0 \exp\left(-\frac{2X_1^2}{1+\phi^2}\right) \times \left| \frac{e^{i\delta_1} + e^{i\delta_2}}{2} \left\{ 1 + \frac{i4}{\pi} \sum_{n=1}^{\infty} \frac{1}{2n-1} \times \exp\left[-\frac{\alpha\pi^2(2n-1)^2}{4D^2}\right] \times \text{sh} \frac{\pi(2n-1)\alpha X_1}{D} \right\} - e^{i\delta_1} \right|^2 \quad (9a)$$

式中 $D = \frac{d}{W}; I_0 = \frac{2\pi W^2}{(1+\phi^2)\lambda^2 l^2}$ 为光轴上的光强。

当 $\delta_1 = \delta_2 = 0$, 为矩形相位栅调制器, 光强分布为

$$I = I_0 \frac{16}{\pi^2} \exp\left(-\frac{2X_1^2}{1+\phi^2}\right) \times \left| \sum_{n=1}^{\infty} \frac{1}{2n-1} \exp\left[-\frac{\alpha\pi^2(2n-1)^2}{4D^2}\right] \times \text{sh} \frac{\pi(2n-1)\alpha X_1}{D} \right|^2 \quad (9b)$$

在远区($\alpha=1$), 光强分布有两个对称的主旁瓣(图 2(a)), 容易得到, 二维的网格形相位调制器有四个主旁瓣。

当 $\delta_1=0, \delta_2=j\infty$ 或 $\delta_1=j\infty, \delta_2=0$ 为遮盖和透明相间的栅形调制器, 图 2(b) 为它的远区光强分布图, 在轴上光强有极大值 $I_0/4$ 。

容易导得基模高斯光束的正弦调制

$$F(x) = \sin \frac{\pi x}{d}$$

光强分布为

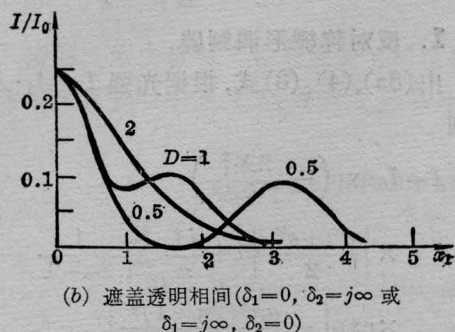
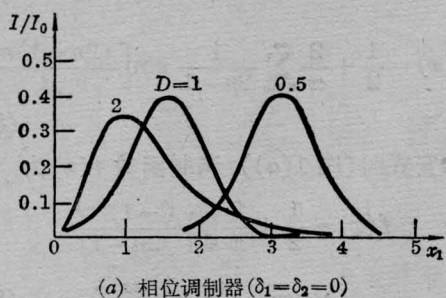


图2 反对称栅形调制器远区光强分布

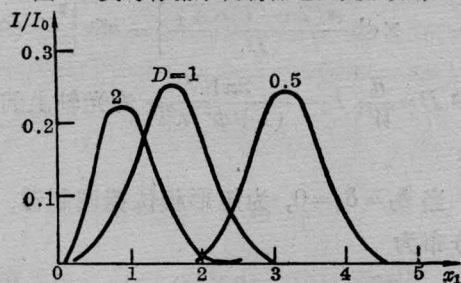


图3 高斯光束正弦调制远区光强分布

$$I = I_0 \exp\left[-\frac{\pi^2 + 4X_1^2}{2(1+\phi^2)}\right] \left| \operatorname{sh} \frac{\alpha\pi X_1}{D} \right|^2 \quad (10)$$

其远区分布有两个对称主旁瓣(图3), 与图2(a)比较, 后者峰值较小, 这是由于正弦调制器对光束有损耗引起的。

2. 对称栅形调制器

由(8b)、(4)、(3)式得, 调制光强分布为

$$I = I_0 \exp\left(-\frac{2X_1^2}{1+\phi^2}\right) \left| \frac{e^{i\delta_1} + e^{i\delta_2}}{2} \right| \times \left\{ 1 + \frac{4}{\pi} \sum_{n=1}^{\infty} \frac{(-1)^{n-1}}{2n-1} \times \exp\left[-\frac{\alpha\pi^2(2n-1)}{4D^2}\right] \times \operatorname{ch} \frac{\pi(2n-1)\alpha X_1}{D} \right\} - e^{i\delta_1} \right|^2 \quad (11)$$

当 $\delta_1 = \delta_2 = 0$ 及 $\delta_1 = 0, \delta_2 = j\infty$, 即得与文献[1]相同的结果。

$\delta_1 = \delta_2 = 0$ 时, 为矩形相位栅调制器, 远区光强分布见图4(a)。D=2时, 中心光斑近似于方波。

$\delta_1 = 0, \delta_2 = j\infty$ 时, 为光束中心透明的遮盖相间的调制器, 光强分布如图4(b)所示。D增加, 中心极大值增加。

$\delta_1 = j\infty, \delta_2 = 0$ 时, 为光束中心遮盖的遮盖相间的调制器, 光强分布见图4(c), 光轴上有极大值。

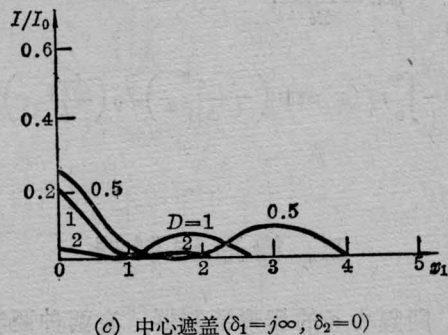
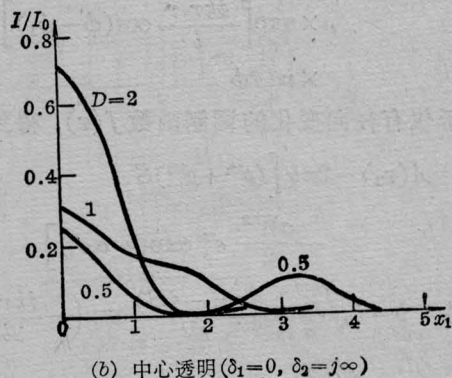
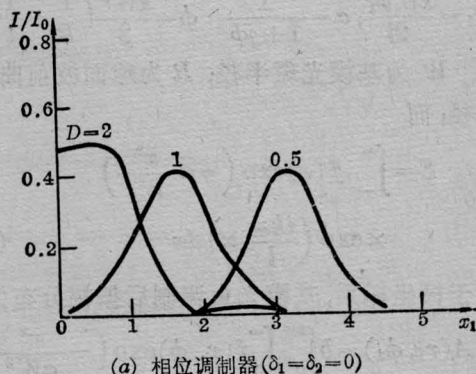


图4 对称栅形调制器远区光强分布

三、缝形调制器

缝宽为 d 的调制器(图 1(b)), 调制函数 $f(x) = \text{rect}\left(\frac{x}{d}\right)$, (4) 式中, 用傅里叶变换表示 $\text{rect}\left(\frac{x}{d}\right)$, 运算得

$$S = 2W \sqrt{\frac{\alpha}{\pi}} \times \int_0^{\infty} \frac{\xi \sin D\xi \cos DX_1 - X_1 \cos D\xi \sin DX_1}{\xi^2 - X_1^2} \times e^{-\alpha\xi^2} d\xi$$

以 $F_c(\xi)$ 、 $K_s(\xi)$ 分别表示 $f(x)$ 、 $K(x)$ 的傅里叶余弦变换式和正弦变换式, 对于

$$F_c(\xi) = e^{-\alpha\xi^2},$$

$$G_c(\xi) = \frac{1}{X_1^2 - \xi^2},$$

$$K_s(\xi) = \frac{\xi}{X_1^2 - \xi^2},$$

则有 $f(x) = \frac{1}{2} \sqrt{\frac{\pi}{\alpha}} e^{-\frac{x^2}{4\alpha}},$

$$g(x) = \frac{1}{X_1} \sin X_1 x$$

$$k(x) = -\cos X_1 x,$$

用傅里叶变换^[3]的卷积运算得到

$$S = \frac{W}{4} \sqrt{\pi\alpha} e^{-\frac{D^2}{4\alpha}} \left(\cos DX_1 \left\{ e^{\left(\frac{D}{2\sqrt{\alpha}} + i\sqrt{\alpha} X_1\right)^2} \times \left[\text{erfc}\left(-\frac{D}{2\sqrt{\alpha}} - i\sqrt{\alpha} X_1\right) - \text{erfc}\left(\frac{D}{2\sqrt{\alpha}} + i\sqrt{\alpha} X_1\right) \right] + e^{\left(\frac{D}{2\sqrt{\alpha}} - i\sqrt{\alpha} X_1\right)^2} \times \left[\text{erfc}\left(-\frac{D}{2\sqrt{\alpha}} + i\sqrt{\alpha} X_1\right) - \text{erfc}\left(\frac{D}{2\sqrt{\alpha}} - i\sqrt{\alpha} X_1\right) \right] \right\} - i \sin DX_1 \left\{ e^{\left(\frac{D}{2\sqrt{\alpha}} + i\sqrt{\alpha} X_1\right)^2} \times \left[\text{erfc}\left(-\frac{D}{2\sqrt{\alpha}} - i\sqrt{\alpha} X_1\right) \right. \right.$$

$$\left. - \text{erfc}\left(\frac{D}{2\sqrt{\alpha}} + i\sqrt{\alpha} X_1\right) \right] + e^{\left(\frac{D}{2\sqrt{\alpha}} - i\sqrt{\alpha} X_1\right)^2} \times \left[\text{erfc}\left(\frac{D}{2\sqrt{\alpha}} - i\sqrt{\alpha} X_1\right) - \text{erfc}\left(-\frac{D}{2\sqrt{\alpha}} + i\sqrt{\alpha} X_1\right) \right] \right\} \quad (12)$$

式中 $\text{erfc}(z)$ 为误差函数。

由(12)、(3)式得光强分布为

$$I = I_0 \left| \frac{(e^{i\delta_1} + e^{i\delta_2})S}{\sqrt{\pi\alpha}W} - e^{i\delta_1} \exp(-\alpha X_1^2) \right|^2 \quad (13)$$

上式当 $\delta_1 = \delta_2 = 0$ 时为缝形相位调制器, $\delta_1 = j\infty$, $\delta_2 = 0$ 时, 为宽 d 的薄遮盖条的衍射光强分布。

当 $\delta_1 = 0$, $\delta_2 = j\infty$ 则为高斯光束单缝衍射, 如 D 较小, X_1 较大时, 则

$$\text{erfc}(z) = \frac{1}{\sqrt{\pi}z} e^{-z^2},$$

于是远区光强分布为

$$I = \frac{2d^2}{\lambda^2 l^2} \left(\frac{\sin DX_1}{DX_1} \right)^2,$$

与平面波的单缝衍射远区场强分布一致。

四、孔形调制器

半径为 a 的孔形调制器(图 1(c)), 调制函数 $f(r) = \text{circ}\left(\frac{r}{a}\right)$, 用汉格乐变换式 $f(r) = \int_0^{\infty} a J_1(\xi a) J_0(\xi r) d\xi$ 代入(7)式得

$$S = \frac{a^2}{2} \exp(-\alpha\rho^2) \sum_{m=0}^{\infty} \frac{1}{m!} (\alpha\rho^2)^m \times {}_1F_1\left(m+1, 2, -\frac{A}{\alpha}\right)$$

式中 $\rho = \frac{KW r_1}{2l}$, ${}_1F_1(a, b, z)$ 为合流超几何函数^[4] $A = \left(\frac{a}{W}\right)^2$, 由(6)式得光强分布

$$I = I_0 \exp\left(-\frac{2\rho^2}{1+\phi^2}\right) \times \left| \frac{A(e^{i\delta_1} + e^{i\delta_2})}{\alpha} \sum_{m=0}^{\infty} \frac{1}{m!} (\alpha\rho^2)^m \times {}_1F_1\left(m+1, 2, -\frac{A}{\alpha} - e^{i\delta_2}\right) \right|^2 \quad (14)$$

当 $\delta_1 = \delta_2 = 0$ 时, 为孔形相位调制器, 由

$${}_1F_1(1, 2, 2z) = \frac{e^z}{z} \operatorname{sh} z$$

得到 $I = I_0 \exp\left(-\frac{2\rho^2}{1+\phi^2}\right)$

$$\times \left| 1 - e^{-\frac{A}{\alpha}} + \frac{2A}{\alpha} \sum_{m=1}^{\infty} \frac{1}{m!} (\alpha\rho^2)^m \times {}_1F_1\left(m+1, 2, -\frac{A}{\alpha}\right) \right|^2 \quad (15)$$

当 m 足够大时,

$${}_1F_1\left(m+1, 2, -\frac{A}{\alpha}\right) = e^{-\frac{A}{2\alpha}} \sqrt{\frac{\alpha}{mA}} J_1\left(2\sqrt{\frac{mA}{\alpha}}\right)$$

(15) 得到远区光强分布 (图 5), 当 $A = 1.44$ 时, 可以得到近似矩形的分布。

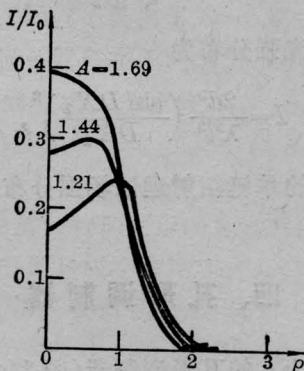


图 5 孔形相位调制器远区光强分布

(15) 式求得沿光轴的分布为

$$I = \frac{A_0}{1+Z} (1 + 4e^{-2A} - 4e^{-A} \cos A\phi) \quad (16)$$

式中 A_0 为调制器中心光强; $Z = \frac{2l}{KW^2}$; $A\phi = \frac{\pi a^2}{\lambda l}$, 它沿轴向成 $\cos A\phi$ 变化 (图 6), 在近区沿轴向分布幅度变化大, 并与 A 有关, A 值大时, 变化幅度小。

(14) 式中, 当 $\delta_1 = 0, \delta_2 = j\infty$ 可得到高斯光束的圆孔衍射强度分布; 当 $\delta_1 = j\infty,$

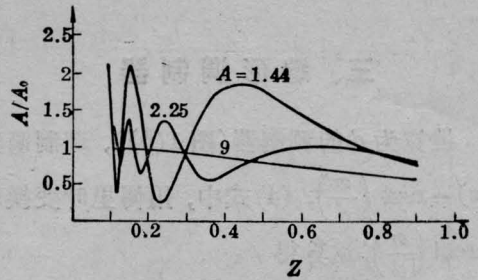


图 6 孔形相位调制器沿光轴的强度分布

$\delta_2 = 0$, 则得圆遮屏的衍射强度分布。上述两种衍射远区分布的中心均有极大值。

五、扇形调制器

如图 1(d) 所示, 扇形调制器调制函数

$$f(\phi) = \frac{1}{2} + \frac{2}{\pi} \sum_{n=1}^{\infty} \frac{(-1)^{n-1}}{2n-1} \times \cos[l(2n-1)\phi]$$

代入 (5) 式得

$$A = b \left[4(e^{i\delta_1} + e^{i\delta_2}) S + \frac{\alpha\pi W^2}{2} (e^{i\delta_1} - e^{i\delta_2}) \exp(-\alpha\rho^2) \right] \quad (17)$$

式中

$$S = \frac{\alpha W^2}{2} \sum_{n=1}^{\infty} \frac{(-1)^{n-1}}{2n-1} \times \cos[l(2n-1)\phi] i^{l(2n-1)} (\alpha\rho^2)^{l(n-\frac{1}{2})} \times \frac{\Gamma\left[l\left(n-\frac{1}{2}\right)+1\right]}{\Gamma[l(2n-1)+1]} \times {}_1F_1\left[l\left(n-\frac{1}{2}\right)+1, l(2n-1)+1, \alpha\rho^2\right]$$

由 (17) 可得

$$I = I_0 \left| (e^{i\delta_1} + e^{i\delta_2}) \sum_{n=1}^{\infty} \frac{2(-1)^{n-1}}{\pi(2n-1)} \times \cos[l(2n-1)\phi] i^{l(2n-1)} (\alpha\rho^2)^{l(n-\frac{1}{2})} \times \frac{\Gamma\left[l\left(n-\frac{1}{2}\right)+1\right]}{\Gamma[l(2n-1)+1]} \times {}_1F_1\left[l\left(n-\frac{1}{2}\right)+1, l(2n-1)+1, \alpha\rho^2\right] + \frac{e^{i\delta_1} - e^{i\delta_2}}{2} \exp(-\alpha\rho^2) \right|^2 \quad (18)$$

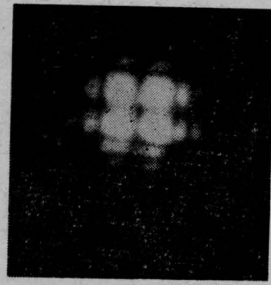
当 $\delta_1 = \delta_2 = 0$ 时, 得到与文献相同的表达式^[1], 在 $\alpha = 1$ 的远区, 光强分布为对称的旁瓣, 中心强度为零。

六、实验结果

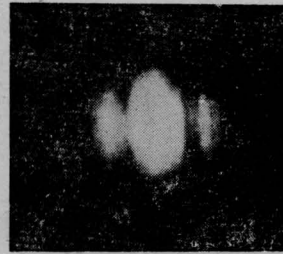
我们用氦-氖激光器做了两种相位调制器的调制实验, 一种为两维反对称栅形相位调制器; 一种为对称栅形相位调制器。调制器是用在平面玻璃上蒸镀不同厚度的铝膜完成的, 镜面上铝膜厚度差为 $\frac{\lambda}{4}$, 以满足相位调制器 $\delta_1 = \delta_2 = 0$ 。基模氦-氖光束经该镜反射, 则受到空间调制, 我们在透镜的焦点处观察调制场分布, 图 7 为实验照片, 图 7(a) 为基模光束经 $D = 1.5$ 两维反对称栅形相位调制器(网形)的远区分布, 它有四个主旁瓣, 图 7(b) 为经对称栅形相位调制器 $D = 2$ 的远区光强分布, 它的主瓣近似为矩形, 照片中出现的旁瓣不对称性是由 δ_2 不为零产生的。

比较图 2(a)、图 4(a) 及图 7 看出, 实验与理论是符合得比较好的。

实验表明, 空间相位调制器作为激光束的对称分束器是方便的, 象图 7(a) 那样的调制光束, 用它作自动准直是可行的, 相位调制器也用于在那些远区光强需要均匀的场合。



(a) 两维反对称栅形相位调制器
($D=1.5$)



(b) 对称栅形相位调制器
($D=2$)

图 7 氦-氖光束空间调制场远区分布照片

参 考 文 献

- [1] L. W. Casperson; *Opt. Quant. Electr.*, 1978, **10**, 483.
- [2] J. W. 顾德门, “傅里叶光学导论” 科学出版社 1976.
- [3] A. Erdelyi; *Tables of Integral Transforms*, 1954.
- [4] M. Abramowitz; *Hand book of Mathematical Functions*. Wash. US GPO, 1964.